

## اثر نانوذرات اکسیدآلومینیوم بر اسپورزایی و تکوین گامتوفت

در لوبیا (*Phaseolus vulgaris L.*)

عبدالکریم چهرگانی راد\*، سمانه معتبرنیا و مهسا جعفری انواری

ایران، همدان، دانشگاه بولعلی سینا، دانشکده علوم، گروه زیست‌شناسی

تاریخ دریافت: ۹۸/۱۲/۹ تاریخ پذیرش: ۹۹/۴/۲۲

### چکیده

پژوهش حاضر با هدف شناخت مراحل تکوین اندام‌های تولیدمثلى و بررسی اثر نانو ذره اکسید آلومینیوم بر مراحل تکوین تخمرک، کیسه رویانی، پرچم و دانه‌های گرده در گیاه لوبیا به عنوان یکی از عمدۀ منابع غذایی انسان، طراحی شد. بذرهای لوبیا در شرایط گلخانه‌ای کشت شده و با غلط‌های مختلف نانو ذره اکسید آلومینیوم (۰/۰۱۰، ۰/۰۱۰ و ۱/۰ گرم بر لیتر) تیمار شدند. گل‌ها در ابعاد مختلف جمع‌آوری شده و پس از تبیت، آبگیری و قالب‌گیری با میکرووتوم برشگیری شدند. رنگ آمیزی برش‌ها از طریق هماتوکسیلین - اوزین انجام شد. مراحل تکوین تخمرک و دانه‌های گرده در نمونه‌های گیاهان شاهد و تحت تیمار با میکروسکوپ نوری مطالعه و عکسبرداری شد. نتایج نشان داد الگوی تکوینی در گیاهان شاهد همسو با گزارش‌های پیشین بود. تکمک از نوع واژگون، کیسه رویانی از تیپ علف هفت بند (پلی گونوم)، آرایش تراد مگاسپور اغلب خطی و به ندرت T شکل بود. تعداد پرچمها ۱۰ عدد، بساک از نوع چهار کیسه گرده ای، لایه تاپی در ابتدا از نوع ترشحی و در مراحل پایانی تکوین پرچم از نوع پلاسمودیال، آرایش ترادها از نوع تراهدرال بود. دانه های گرده گرد تا بیضی مشاهده شد. نتایج نشان داد که در گروه‌های تیماری تکوین تخمرک و کیسه رویانی تحت تأثیر قرار نگرفته است، اما در پرچمها کاهش زیست‌پذیری دانه های گرده، افزایش ضخامت لایه انتین، بی نظمی در آرایش ترادها و بی نظمی ساختاری دانه‌های گرده، برخی از اثرات تیمار با نانوذره اکسید آلومینیوم بودند.

**واژه‌های کلیدی:** نانوذرات، اکسید آلومینیوم، تکوین، تخمرک، دانه‌های گرده

\* نویسنده مسئول، تلفن: ۰۸۱۳۸۲۷۱۵۴۱، پست الکترونیکی: Chehregani@basu.ac.ir

### مقدمه

کشاورزی کاربرد گسترده‌ای دارند (۲). در عرصه کشاورزی، عرضه کودهای شیمیایی به صورت نانو ذرات به تازگی مورد توجه قرار گرفته است. البته نتایج تحقیقات نشان‌دهنده واکنش‌های مختلفی در گیاهان نسبت به نانو ذرات بوده است (۴,۳).

از طرفی، با توجه به کاربرد روز افزون این ذرات در علوم و صنایع مختلف، آن‌ها به صورت آزاد در طبیعت و در تماس با انسان می‌باشند و دارای پتانسیل به خطر اندازی سلامتی و زندگی انسان هستند. گیاهان در معرض محیط‌های آبی و

نانو ذرات اتم‌ها یا ملکول‌هایی با ابعاد ۱ تا ۱۰۰ نانومتر هستند که خصوصیات فیزیکی و شیمیایی متفاوتی نسبت به درشت ملکول‌ها از خود بروز می‌دهند. فناوری نانو بهره‌برداری از ویژگی‌های فیزیکی، شیمیایی و زیستی موادی با ابعاد نانو در علوم و صنایع مختلف می‌باشد (۱). امروزه نانوفناوری با سرعت زیادی در حال رشد است و عرصه‌های مختلف علوم را تحت تأثیر قرار می‌دهد. به عنوان مثال، نانوذرات در صنایع الکتریکی، بیوسنسورها، صنایع غذایی، رنگرزی، کرم‌های ضدآفات و به ویژه در

زیست محیطی شرکت کرده و اثرات متفاوتی بر محیط-زیست، گیاهان و انسان دارند. پژوهش حاضر با هدف بررسی اثر نانوذره اکسیدآلومینیوم بر مراحل مختلف تکوین تخمرک و دانه‌های گرده در گیاه لوبيا که دارای ارزش غذایی بالایی است، طراحی و اجرا شد.

### مواد و روشها

**مواد گیاهی و تیمارها:** گونه گیاهی *Phaseolus vulgaris* Fabaceae از تیره به عنوان یک مدل گیاهی در این پژوهش مورد استفاده قرار گرفت. بذرهای گیاه لوبيا رقم شکوفا، از مرکز تحقیقات کشاورزی همدان تهیه و در گلخانه پژوهشی دانشگاه بوعلی سینا همدان، به صورت کشت گلدانی در چهار گروه دوازده‌تایی کاشته شدند. گیاهان در سه گروه تیماری (شامل ۵ گلدان و هر گلدان دارای ۳ دانه رست همانند) با سه غلظت ۰/۰۰۱، ۰/۰۱ و ۱/۰ گرم بر لیتر از نانوذره اکسیدآلومینیوم در آب مقطر به صورت اسپری برگی تیمارشد و یک گروه هم به عنوان شاهد انتخاب شد. بعد از گذشت یک ماه از رشد دانه رستها، محلول پاشی شروع و هفته‌ای یکبار انجام و تا بعد از گلدنه ادامه پیداکرد. در هر بار اسپری هر گیاه به طور تقریبی ۵ میلی لیتر از محلولهای تیماری را دریافت می‌کرد. نانوذرات مورد استفاده، از شرکت پیشگامان مشهد تهیه شد. نانوذره اکسید آلومینیوم مورد استفاده، از نوع گاما با درجه خلوص ۹۹/۹٪ و ابعاد ۱۰ تا ۲۰ نانومتر بود (شکل ۱).

**مطالعات میکروسکوپی:** جهت مطالعات تکوینی گیاه *P. vulgaris* تحت تیمار با نانو ذرات آلومینیوم، از گیاهان گروههای مختلف تیماری و شاهد، به طور جداگانه غنچه-ها و گل‌ها در ابعاد متفاوت و در زمانهای مختلف از گلدنه تا کامل شدن میوه‌ها جمع‌آوری شد. نمونه‌ها در محلول FAA ثبت شده و در الکل ۷۰٪ نگهداری شدند. نمونه‌ها با عبور از محلول‌های الکلی با درجات افزایشی آبگیری شده و در پارافین قالب‌گیری شدند (۱۶).

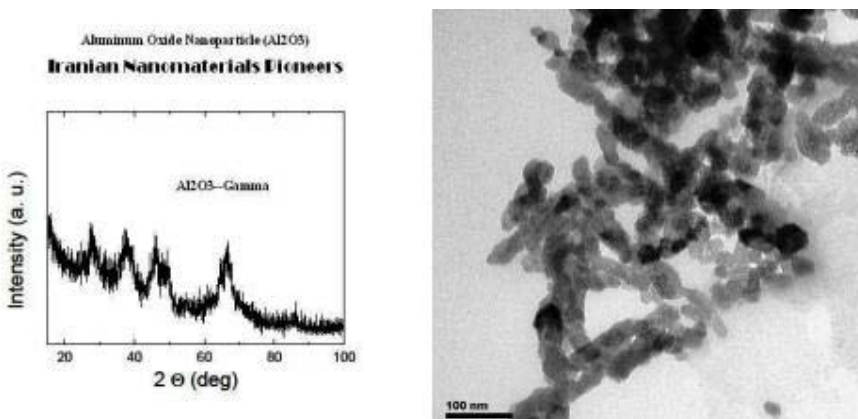
خاکی و حتی اتمسفر می‌باشد، بنابراین ذرات نانو به درون گیاهان نفوذ کرده، در آن‌ها باقی می‌مانند و از طریق گیاهان وارد چرخه غذایی انسان می‌شوند (۵).

از جمله مطالعاتی که در این زمینه صورت گرفته است، می-توان به مطالعه *YIL* و همکاران در سال ۲۰۱۱ اشاره کرد که تاثیر نانوذره آلومینیوم بر *Caenorhabditis elegans* را مطالعه و نشان دادند که القای شدید پاسخ‌های تنفسی، تولید رادیکال‌های آزاد اکسیژن و آسیب‌های اکسیداتیو در اثر تیمار نانوذره آلومینیوم ایجاد شده است (۶). در جلبک‌ها مکانیسم‌های مختلفی برای القای سمیت، توسط نانوذرات گزارش شده است. از جمله، برهمکنش شیمیایی بین ذرات گزارش شده است (۷). تشهیای اکسیداتیو که منجر به مرگ سلول می‌شود (۸،۹) و سمیت یونی (۱۰،۹) و سمیت یونی (۱۱).

برخی مطالعات نشان داده که نانوذره اکسیدآلومینیوم مانع رشد ریشه در ذرت، خیار و کلم شد؛ اما باعث افزایش رشد ریشه در تربچه گردید (۱۲،۱۳). گزارش شده که نانوذره اکسید آهن باعث افزایش دانه‌های گرده ناموفق در تشکیل لوله گرده و کاهش در زیست پذیری دانه‌های گرده در گیاه *Arabidopsis thaliana* گردید (۱۴).

در سال‌های اخیر، بررسی مراحل مختلف تکوین گل شامل تکوین مادگی، تخمرک، گامتوفتیت ماده، پرچم و دانه گرده به طور گستردگی مورد توجه قرار گرفته است (۱۵). مطالعه‌ی مراحل تکوین اندام‌های تولید مثلی برای درک چگونگی حفظ بقای گیاهان نادر، گیاهان در حال انقراض و همچنین گیاهان حائز اهمیت در کشاورزی و باغبانی ضروری است (۱۵).

باتوجه به کاربرد روزافزون نانوذرات، به ویژه نانوذره اکسید آلومینیوم در شاخه‌های مختلف علوم و صنایع احتمال بروز آلودگی‌های زیست محیطی وجود دارد. همچنین این ذرات دارای ابعاد ریز و سطح فعالیت بالایی هستند و در عبور از سدهای بیولوژیک بدن با مشکل چندانی مواجه نمی‌شوند؛ به طور گسترده در واکنش‌های



شکل ۱- تصویر نانوذرات اکسیدآلومینیوم (سمت راست) توسط میکروسکوپ SEM و طیف اشعه X نانوذرات اکسیدآلومینیوم (سمت چپ)

دان肯 توسط نرم افزار SAS انجام و مورد تجزیه و تحلیل قرار گرفت. نمودارهای مربوطه با استفاده از نرم افزار Excel 2007 رسم شد.

## نتایج

اسپورزایی و تکوین گامتوفیت در نمونه‌های شاهد: پس از طی مرحله رویشی، در شرایط مناسب گلدهی، گل‌ها از تحولات عده‌ای از جوانه‌های جانبی شروع به تشکیل می‌کنند. از فعالیت سلول‌های تونیکا و بخش فوکانی کورپوس، چند لایه سلول به وجود می‌آید که تشکیل پرومیستم هاگزا را می‌دهد. این بخش در آینده خاستگاه اندام‌های زایشی گل خواهد بود (شکل ۲A). با افزایش تقسیمات سلولی در سلول‌های تحتانی کورپوس و سلول‌های بالای میستم مرکزی، لایه‌های فشرده‌ای به نام میستم نهنج زا تشکیل می‌شوند که خاستگاه دمگل، نهنج و برخی بخش‌های غیر زایشی گل است. به تدریج بخشی از میستم زایشی اولین پریموردیوم‌های پرچمی را به وجود آورده و بقیه نیز به تدریج صرف تشکیل سایر پرچم‌ها و برچه‌ها خواهد شد. گلبرگ‌ها با تاخیر بیشتر از مجاور پرچم‌ها تشکیل می‌شوند (شکل ۲B,C,D).

تکوین تخمک: تخمک از نوع واژگون است (شکل ۴D). پوسته‌های تخمک در طرفین جسم تخمک تقارن ندارند و عموماً پوسته‌ای که در جهت خمیدگی تخمک ایجاد می-

قالب‌ها به کمک میکروتوم دستی مدل Micro DS 4055 rotary (دید سیز، ارومیه، ایران) برش گیری شده و با روش رنگ‌آمیزی مضاعف هماتوکسیلین - اثوزین رنگ شدن (۱۵). عکسبرداری به کمک میکروسکوپ نوری Zeiss مدل Axiostar Plus (Germany) و دوربین دیجیتال Cannon مدل G11 (Japan) در بزرگنمایی‌های مختلف صورت گرفت. برای محاسبه درصد تراویدهای با شکل غیر معمول، درصد دانه‌های گرده با انتین ضخیم و تعیین درصد آنها، حداقل در ۱۰ لام متعلق به ۱۰ نمونه تیماری، و از هر لام حداقل ۵ بساک و ۵۰ دانه گرده مورد شمارش و بررسی قرار گرفت.

زیست‌پذیری دانه‌های گرده: به منظور ارزیابی زیست‌پذیری دانه‌های گرده، از ده غنچه در هر گروه تیماری دانه‌های گرده جمع‌آوری شده و توسط رنگ استوکار من رنگ‌آمیزی شدن. درنهایت زیست‌پذیری دانه‌های گرده توسط میکروسکوپ نوری مورد بررسی قرار گرفت. دانه‌های گرده سالم، توپر و رنگ پذیر به عنوان دانه گرده زنده و دانه‌های گرده توخالی، شکسته و بی رنگ به عنوان دانه گرده غیر زنده منظور شدند (۱۶) که دانه‌های گرده غیرزیست‌پذیر به شکل درصدی از کل دانه‌های گرده محاسبه شدند.

**آنالیزهای آماری:** آزمایش در قالب یک طرح کاملاً تصادفی با پنج تکرار انجام شد. مقایسه میانگینها با آزمون

بررسی ما موقعیت چهار لایه زیر اپیدرمی دارد (تترازونیت می‌باشد) و اصولاً در چهارمین لایه زیر پوسته تخمک تشکیل می‌شود (شکل ۴A). نخستین تقسیم میتوzی سلول مادر کیسه رویانی موجب تشکیل دو هسته هاپلائید می‌گردد. هر هسته به نسبت حجم و دارای هستک یا هستک-های مشخص است (شکل ۴B). دومین تقسیم میتوzی موجب تشکیل چهار هسته در کیسه رویانی (شکل ۴C,D) و تقسیم سوم موجب تشکیل کیسه رویانی هشت هسته‌ای می‌شود. کیسه رویانی کشیده و کم و بیش شکلی نامنظم دارد (شکل ۴E). اطراف کیسه رویانی با سلول‌های خورش پوشیده شده است. درونی ترین لایه پوسته که فرش‌کننده خورش است با نام آندوتالیوم در تصاویر مشهود است (شکل ۴E)؛ این لایه به صورت شعاعی امتداد یافته و سلولهای آن دارای هسته کاملاً واضح و سیتوپلاسمی متراکم هستند.

هسته‌های کیسه رویانی آرایش ویژه‌ای پیدا کرده و سه هسته در قطب مجاور سفت، سه هسته در قطب دور از سفت و دو هسته در مرکز کیسه رویانی قرار می‌گیرند. جدار بندی هر هسته به همراه مقداری سیتوپلاسم موجب تشکیل سه سلول در قطب مجاور سفت و سه سلول دور از سفت و یک سلول دیپلائید در قسمت مرکزی می‌گردد. سلول‌های مجاور سفت که دستگاه تخenza نیز نامیده می‌شود شامل دو سلول قرینه در طرفین و یک سلول میانی به نام تخenza می‌گردد. این سه سلول قبل از دیگر سلول‌ها تمایز می‌یابند. سلول‌های دور از سفت یا متقاطرها خیلی سریع و بلا فاصله بعد از تشکیل تحلیل می‌روند. دوهسته میانی کیسه رویانی سیتوپلاسم مشترکی دارند و اغلب با هم تلفیق شده و هسته دیپلائیدی را تشکیل می‌دهند. در تصاویر برش طولی تخدمان در این مرحله پوسته‌های تخمک، مجرای سفت، بقایای بافت خورش و کیسه رویانی قابل تشخیص است (شکل ۴F). جسم تخمک با بند زاویه زیادی پیدا کرده و مجرای سفت به تدریج به پایه تخمک نزدیک می‌شود و در نهایت تخمک واژگون می‌شود. با

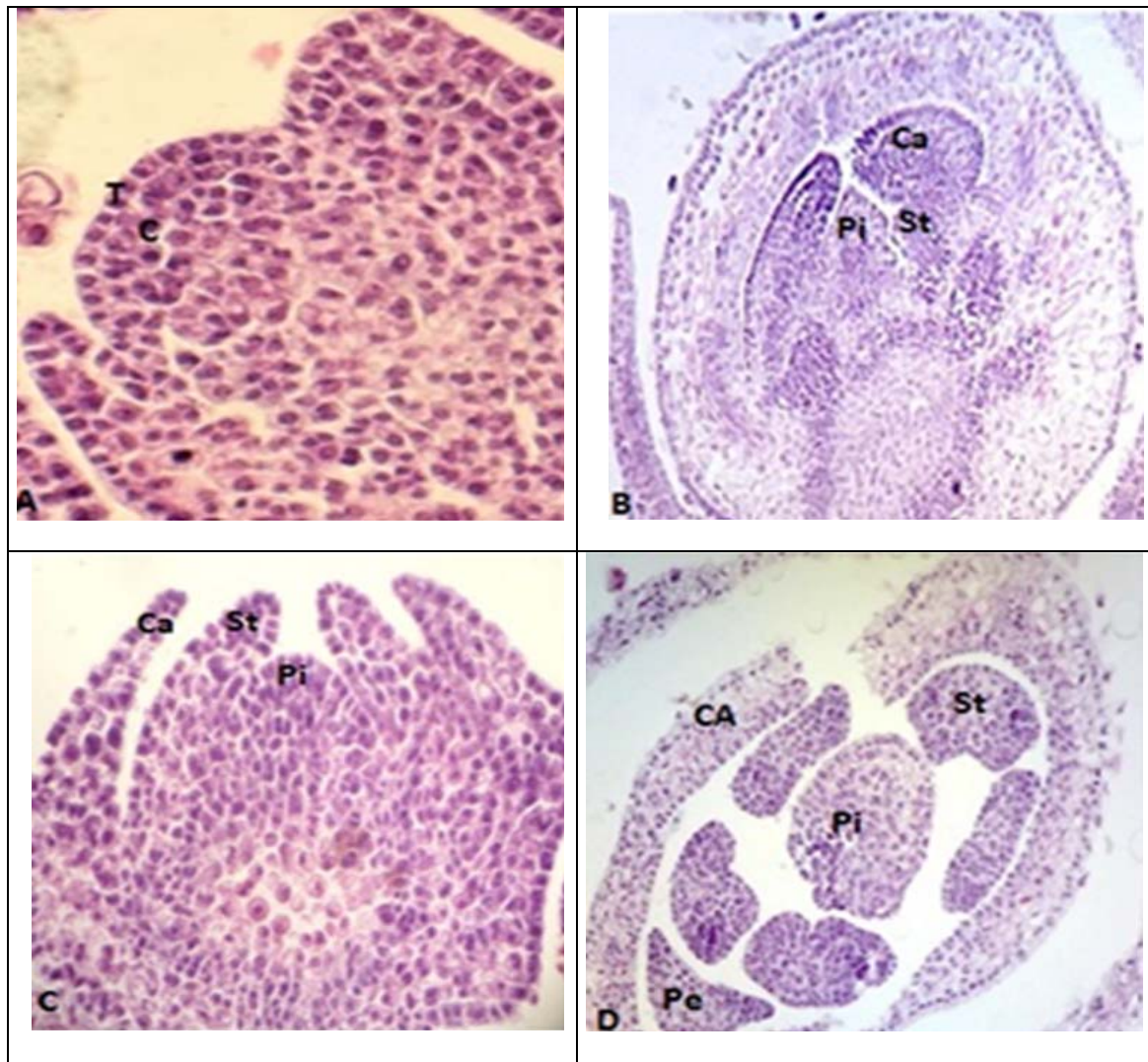
شود، در سطح پایین‌تری شکل می‌گیرد. کمی بعد پوسته‌های تخمکی به صورت بر جستگی‌هایی در طرفین تخمک پدیدار می‌شوند. سپس پوسته درونی در زیر پوسته بیرونی شروع به تشکیل می‌کند (شکل ۴G). ضمن تشکیل پوسته‌های تخمک، توده مرکزی سلول‌ها با تقسیمات و تمایز خود، بافت خورش با سلول‌های دیپلائید را تشکیل می‌دهد. از رشد سریع و تحولات یکی از این سلول‌ها، مگاگامتوسیت تمایز می‌یابد. این سلول تقریباً موقعیت مرکزی دارد و با حجم زیاد خود، درشتی هسته، هسته متراکم و حجمی و شکل چند وجهی که دارد به خوبی از سایر سلول‌های خورش قابل تشخیص است (شکل ۴H).

اولین تقسیم میوزی مگاگامتوسیت (شکل ۴I) موجب تشکیل دو سلول هاپلوبید یا دیاد (شکل ۴J) و دومین تقسیم میوزی موجب تشکیل تتراد می‌شود. بررسی تعداد زیادی از لام‌ها نشان می‌دهد که تترادها از نوع خطی و به ندرت T شکل می‌باشند. به طور معمول وقتی میوز با تشکیل تترادها به پایان می‌رسد، پوسته‌های تخمک به خوبی قابل تشخیص هستند و حدود  $\frac{3}{4}$  از جسم تخمک را می‌پوشانند. در بسیاری از نمونه‌های مورد بررسی قرار گرفته تعداد لایه‌های پوسته درونی شامل دو و تعداد لایه‌های پوسته بیرونی شامل چهار ردیف سلولی می‌باشد (شکل ۴K).

از چهار سلول حاصل از تقسیم میوز، سه سلول تحلیل می‌روند و سلول بنی یا شالازی با افزایش حجم و رشد هسته و سیتوپلاسم خود به صورت سلولی حجمی درآمده و به سمت مجرای سفت مهاجرت می‌کند (شکل ۴L). در تمام طول تقسیم میوز تا مرحله حجمی شدن یکی از مگاپورها، تقسیمات سلول‌های سازنده خورش موجب افزایش تعداد این سلول‌ها می‌شود و این سلول‌ها به صورت لایه‌های کم و بیش مرتبی اطراف سلول سازنده کیسه رویانی که مادر کیسه رویانی نامیده می‌شود را می‌پوشانند. سلول مادر کیسه رویانی در نمونه‌های مورد

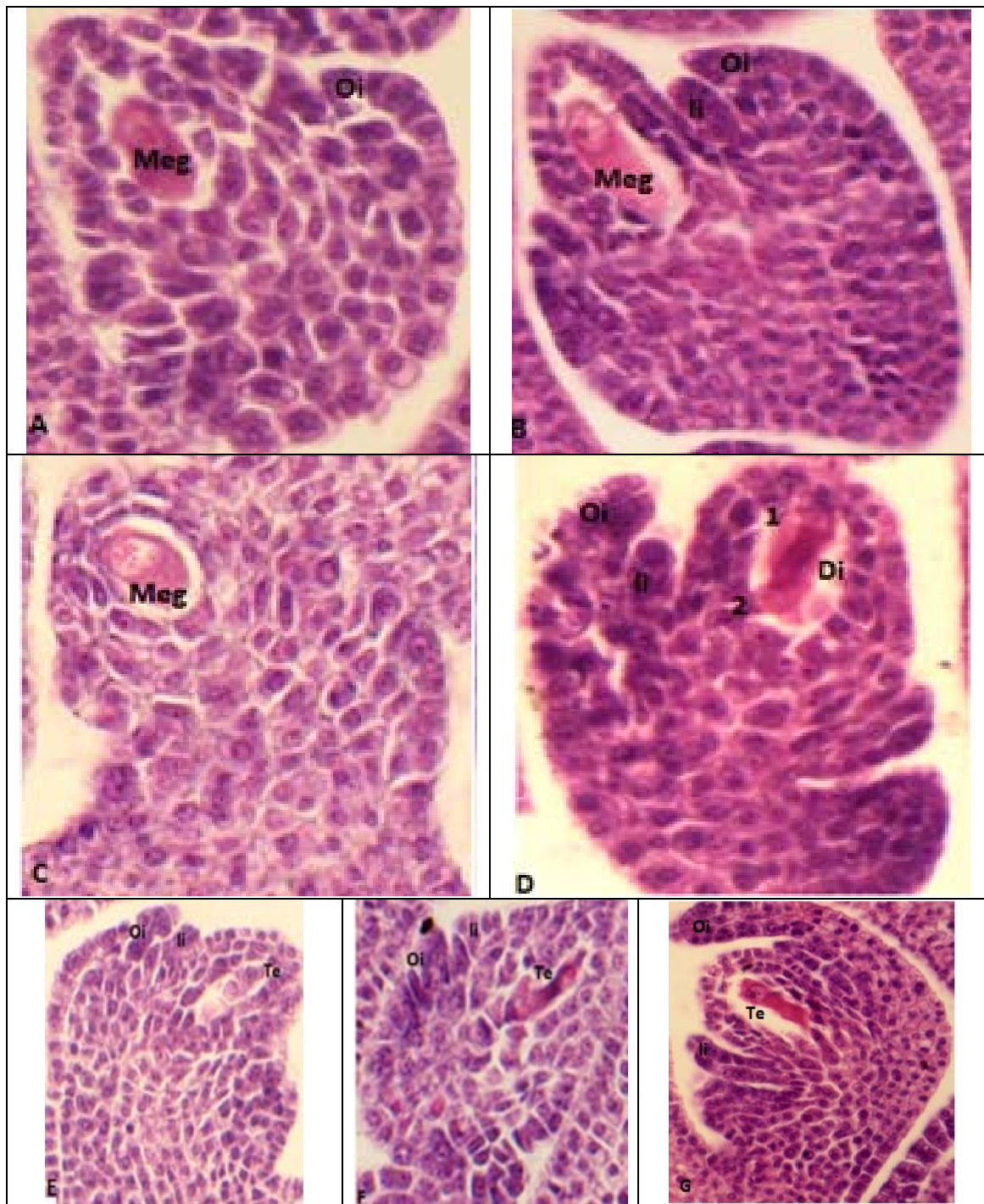
پایان می‌رسد(شکل ۴F).

تشکیل کیسه رویانی و سلول‌های قابل لفاح شامل تخمزا (هالپلئید) و سلول مرکزی (دیپلئید) تکوین تخمک به

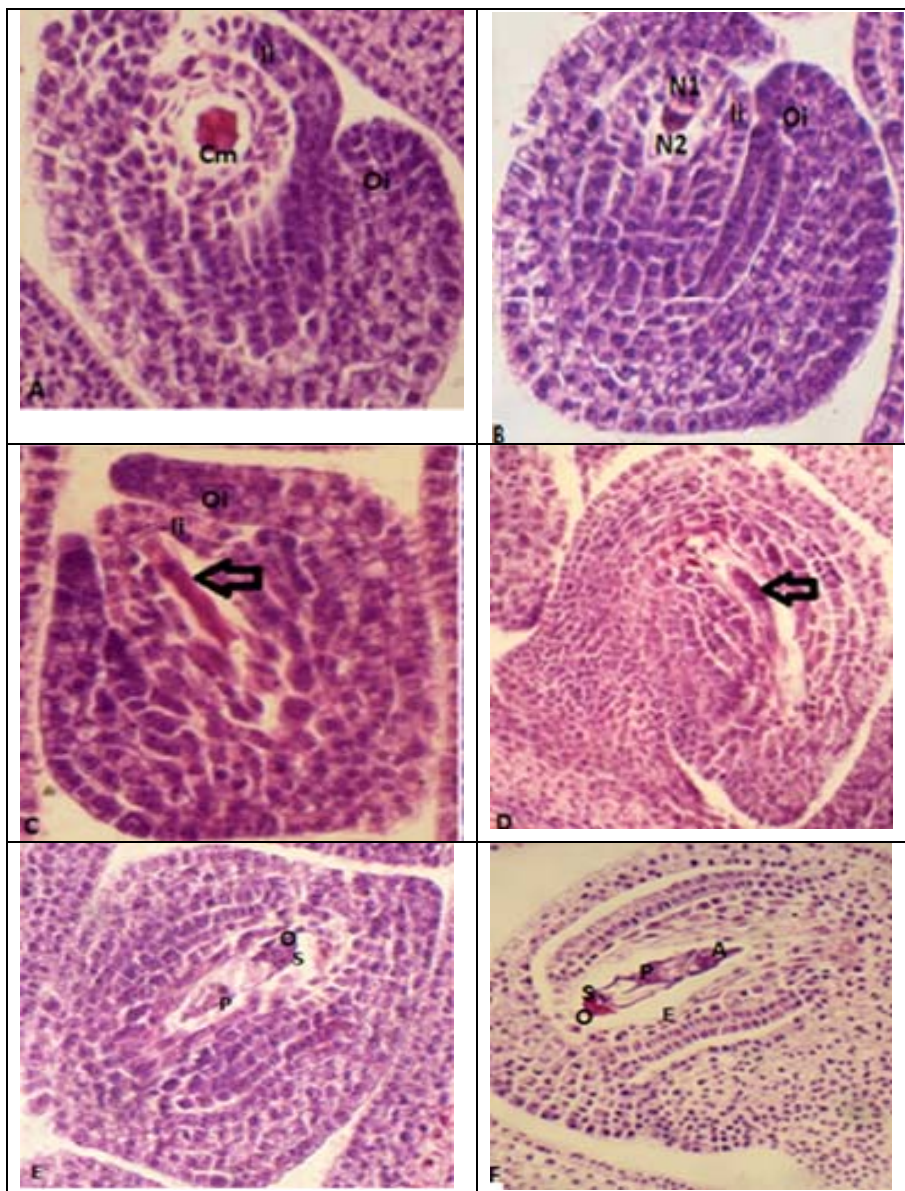


شکل ۲- مراحل بنیان‌گذاری گل: (A) برش عرضی جوانه رویشی لوبيا، تونیکا و کورپوس قابل مشاهده است. (B) برش طولی جوانه زایشی لوبيا: کاسپرگ، پرموردیوم پرجم و پرموردیوم مادگی. (C): جوانه زایشی لوبيا با بزرگنمایی و نمو بیشتر: کاسپرگ، پرموردیوم پرجم، پرموردیوم مادگی. (D) : غنچه درحال تشکیل اندامهای گل، کاسپرگ، پرجم که به دلیل اختلاف ارتفاع فقط ۵ پرجم در سطح برش دیده می‌شد، پرموردیوم مادگی به صورت توده بیضی شکل بدون تمایز زیادی در سلول‌ها و گلبرگ‌ها که در این شکل آنان نیز شروع به تشکیل کرده‌اند. (بزرگنمایی شکلها). (X400)

مخلف ها: T: تونیکا، C: کورپوس، St: کاسپرگ، Ca: پرموردیوم پرجم، Pi: پرموردیوم مادگی، Pe: گلبرگ‌ها



شکل ۳- مراحل تقسیم میوز در تخمک: (A) تشکیل و رشد پوسته بیرونی تخمک (O<sub>i</sub>) و نمایی از سلول حجیم مگاگامتوسیت (Meg). (B) (Meg) (Rشد بیشتر پوسته بیرونی (O<sub>i</sub>) و تشکیل پوسته درونی (I<sub>i</sub>)). سلول مگاگامتوسیت (Meg) حجیم شده و برای تقسیم میوز آماده می‌شود. (C) سلول مگاگامتوسیت (Meg) در مرحله پروفاز (D) رشد و تمايز بیشتر پوسته درونی (I<sub>i</sub>) و بیرونی (O<sub>i</sub>) و بروز اولین تقسیم میوز و تشکیل دیاد (E) (Di). (Di) تقسیم دوم میوز شروع شده و تتراد (Te) تشکیل می‌شود. اکثرا تترادها خطی است. (F) تتراد از نوع T شکل در تصویر رویت می‌شود. (G) سلول بنی باقی مانده و سه سلول دیگر تحلیل می‌رود. در تصویر آثار باقی مانده سه سلول تحلیل رفته دیده می‌شود و سلول بنی به سمت سفت مهاجرت می‌کند. (بزرگنمایی شکلها X400).



شکل ۴- مراحل تشکیل کیسه‌رویانی: (A) کیسه‌رویانی تک هسته‌ای که در آن مادر کیسه‌رویانی (Cm)، پوسته بیرونی (Oi) و پوسته درونی (II) علامت-گذاری شده است. (B) اولین تقسیم میتوزی رخ داده و دو هسته هاپلوبتید N1 و N2 را تشکیل می‌دهد (کیسه‌رویانی دو هسته‌ای). کیسه‌رویانی رشد کرده و دو هسته به وسیله یک واکوئل از هم جدا می‌شوند. (C) تقسیم دوم میتوزی به وقوع می‌پیوندد و ۴ هسته هاپلوبتید تشکیل می‌شود. (D) نمایی از کیسه‌رویانی هشت هسته‌ای همراه با نمایی از نحوه قرار گرفتن تخمک و پوسته‌ها (تخمک واژگون). (E) کیسه‌رویانی هشت هسته‌ای که در آن هسته‌ها در حال مهاجرت بوده و جداربندی سلول‌ها نیز درحال انجام است. تخمزا (O)، سلول‌های سینتریزید (S)، سلول قطبی (P). (F) کیسه‌رویانی بالغ با هفت سلول، تخمزا (O)، سلول‌های سینتریزید (S)، سلول قطبی (P)، لایه اندوتیلوم (E)، بزرگنمایی شکلها (X400).

تکوین پرچم: پرچم‌های لوپیا ۱۰ عدد می‌باشد که در دو حلقه ۵ تایی پدیدار می‌گردند و به دلیل اختلاف ارتفاع متناوب با حلقه اول و با کمی تاخیر به وجود می‌آیند. سپس این دو حلقه خیلی سریع با هم ادغام شده و تشکیل لوله

تکوین پرچم: پرچم‌های لوپیا ۱۰ عدد می‌باشد که در دو حلقه ۵ تایی پدیدار می‌گردند و به دلیل اختلاف ارتفاع فقط پنج پرچم در برش عرضی قابل مشاهده است (شکل

لایه تاپی داخلی ترین لایه بساک است و مجاور تراسپورها قرار دارد که نقش تغذیه‌ای و ترشحی را بر عهده دارد. این سلول‌ها به دو دسته ترشحی و پلاسمودیال تقسیم می‌شوند که هر دو نوع آن در بساک لوپیا دیده می‌شوند. به این صورت که سلول‌های این لایه تا مرحله میکروسپور جوان پایدار بوده (ترشحی) (شکل ۵A,B,C) و بعد از آن شروع به تخریب می‌نمایند (پلاسمودیومی) (شکل ۶A,B,C). از طرفی لایه تاپی در لام‌های مورد بررسی ما تک هسته‌ای رویت شد. لایه مکانیکی اولین لایه زیر اپیدرمی است که در بساک تکوین پیدا می‌کند و در بساک بالغ تنها لایه است که باقیمانده و قابل مشاهده است (شکل ۶D).

در انتهای میوز دیواره کالولزی اطراف تراسپورها به صورت مرکزو (سانتری پت) و همزمان فرو رفته، و ۴ میکروسپور جوان از هم جدا می‌شوند. چهار میکروسپور آزاد شده هنوز واکوئله نشده‌اند (شکل ۶A) و در گام بعدی ابتدا واکوئله شده و هسته این سلول‌ها به تدریج به کنار مهاجرت می‌کند.

اطراف هر میکروسپور را دیواره اگزین در بر گرفته است. این دیواره ابتدا پلی ساکاریدی و سپس اسپوروپولیتنی است. از طرفی، وقتی که دیواره کالولزی تحلیل می‌رود و میکروسپورهای جوان آزاد می‌شوند؛ دیواره پکتوسلولزی دیگری به نام انتین در مجاورت غشای سیتوپلاسمی تشکیل می‌شود (شکل ۶B). علاوه بر لایه‌های اگزین و انتین، منافذ سه‌گانه رویشی بر روی دیواره گرده جوان به چشم می‌خورد که محل خارج شدن لوله گرده در زمان رویش دانه گرده هستند.

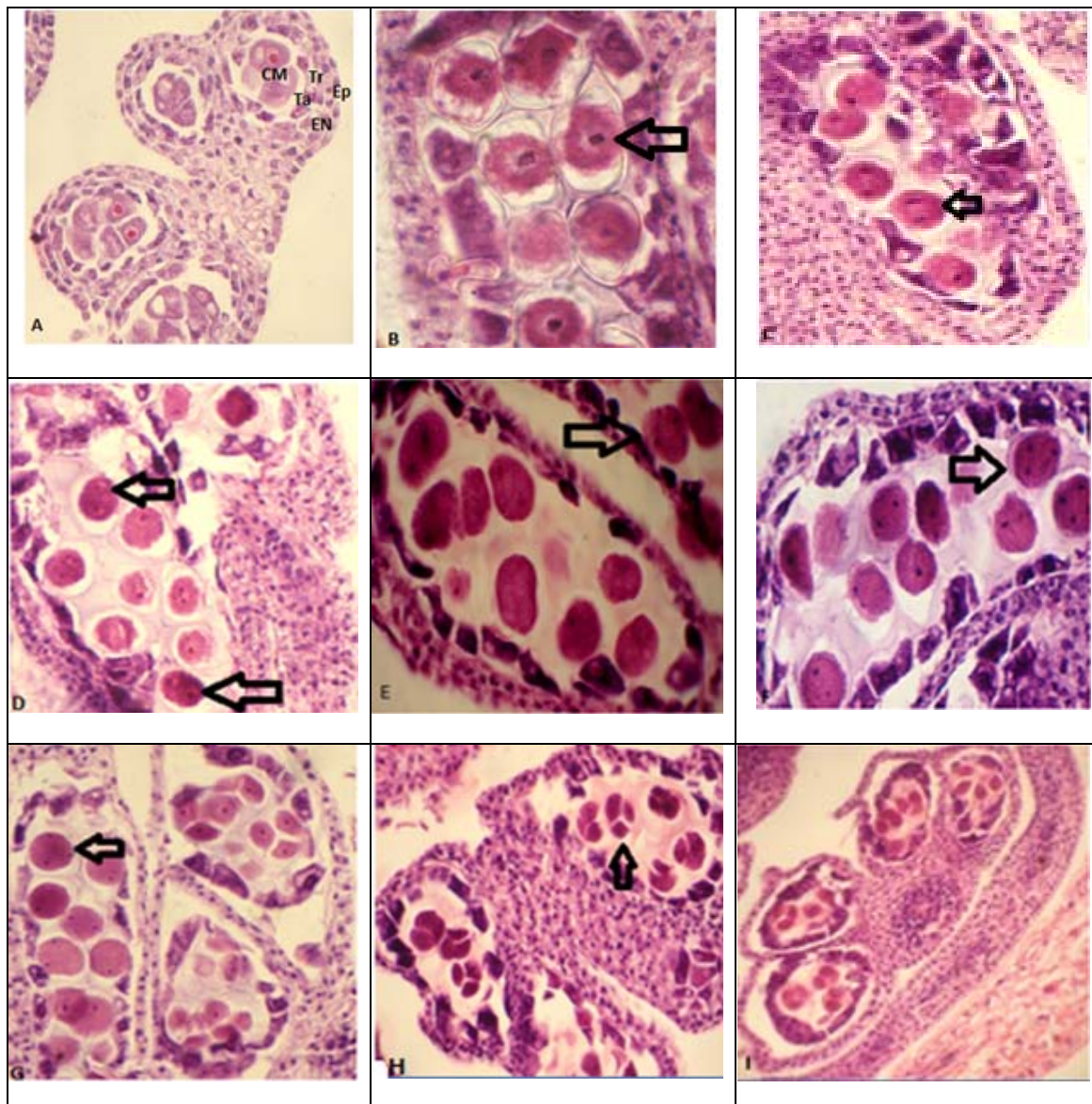
از تقسیم نامساوی هسته در گرده جوان، دو هسته رویشی و زایشی حاصل می‌شود. هسته زایشی دوکی شکل و متراکم است اما هسته رویشی بزرگ و غیر متراکم است که بعد سیتوکینز انجام می‌شود. بنابراین دانه‌های گرده‌ای که از بساک‌ها رها خواهند شد، دارای دو سلول، رویشی و زایشی هستند (شکل ۶C,D).

پرچمی متشكل از ۹ پرچم به هم پیوسته و یک پرچم آزاد را می‌دهند (نافه از نوع دیادلف است).

سلول حاشیه‌ای زیر اپیدرمی خاستگاه لایه‌های بساک شامل: اپیدرم، لایه مکانیکی، لایه موقت و لایه تاپی می‌باشد که هر چهار لایه در این گیاه، فقط از یک ردیف سلولی تشکیل شده بود. سلول‌های لایه موقت ناپایدار بوده و در طی مراحل میوز از بین می‌روند (شکل ۵A).

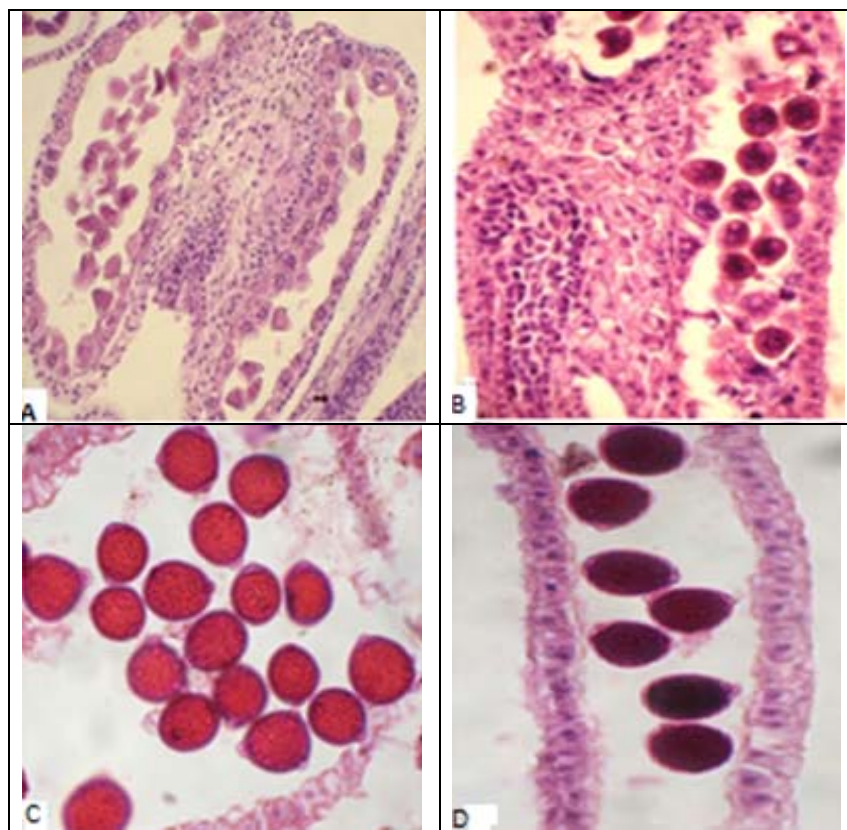
سلول هاگزای از طریق تقسیم میتوزی تکثیر شده و توده سلول‌های مادر گرده که دارای هسته حجیم هستند را به وجود می‌آورد. هریک از این سلول‌ها شروع به تقسیم میوز کرده که مراحل آن از این قرار است: ابتدا میوز I با مرحله پروفاز I آغاز می‌شود و سلول شروع به از دست دادن پوشش هسته کرده و وارد تقسیم میوزی می‌شود (شکل ۵B)، سپس در مرحله متافاز I ترادها در یک ردیف مرتب شده و در آنافاز I این ترادها شروع به جدایی از یکدیگر می‌کنند (شکل ۵C)، در مرحله تلوفاز I تقسیم هسته‌ها بدون سیتوکینز تکمیل می‌گردد و دو هسته هاپلوبیتد تشکیل می‌گردد (شکل ۵D). سپس میوز II آغاز می‌شود بدین صورت که در مرحله پروفاز II پوشش هسته مجدها تخریب شده و در مرحله متافاز II کروموزوم‌ها در یک ردیف مرتب می‌شوند (۵E) اما در آنافاز II این بار کروماتیدهای خواهri جدا شده (شکل ۵F) و در تلوفاز II چهار هسته تشکیل می‌شود و در آخر چهار سلول n کروموزومی هاپلوبیتد به نام تراسپور به وجود می‌آیند (شکل ۵G). آرایش ترادها در این نمونه اغلب از نوع تراهدرال (آرایش ترادها به صورت هرمی است و میکروسپورها در یک سطح قرار ندارند) است (شکل I, H, ۵H).

کمی قبل از آغاز میوز در سلول‌های مادر دانه گرده، دیواره ویژه با ماهیت عمدتاً کالولزی توسط همین سلول‌ها به اطراف ترشح می‌شود و آنها را احاطه می‌کند که حجم آن در ابتدا کم ولی بعداً زیادتر می‌شود. این دیواره در انتهای میوز شروع به تخریب می‌کند (شکل ۵I).



شکل ۵ - A) برش عرضی یک بساک لوبیا. سلول‌های مادر دانه‌گرده (PMC) که چند وجهی و دارای هسته‌های بزرگ هستند و برای تقسیم میوز آماده می‌شوند. همچنین لایه‌های بساک به وضوح مشاهده می‌شوند. (B) مرحله پروفاز I، (C) مرحله آنافاز I، (D) مرحله تلوفاز I، (E) مرحله متافاز II، (F) مرحله آنافاز II، (G) مرحله تلوفاز II، (H) سیتوکینز همزمان و تشکیل تترادرال، (I) در مرحله سیتوکینز لایه موقت از بین رفته و جای آن خالی است بنابراین لایه موقت ناپایدار است. (بزرگنمایی شکلها X400).

مخنفها: (Ep) پیدرم، (En) لایه مکانیکی، (Tr) لایه موقت، (Ta) لایه تابی



شکل ۶ : A - سلول‌های میکروسپور نابالغ که هنوز واکوئله نشده و به تازگی با تحلیل لایه کالولزی آزاد شده‌اند. (B) سلول‌های میکروسپور جوان که واکوئله شده، برای تقسیم میتوز آماده شده‌اند. (C) دانه گرده بالغ که در حال ابیاشت مواد هستند و اگزین وایتنین تشکیل شده است. (D) دانه گرده کاملاً بالغ که به خاطر ابیاشت مواد رنگ تیره داشته، سه منفذ رویشی مشهود است. در این مرحله لایه تاپی تحلیل رفته و فقط لایه مکانیکی باقی مانده است. (بزرگنمایی شکلها X400).

ترادها مشاهده شد (شکل ۷A). حدود ۱۲ درصد از دانه‌های گرده در غلظت ۰/۱ گرم بر لیتر و ۲ درصد در غلظت ۰/۰۱ گرم بر لیتر نانوذره اکسید آلومینیوم به صورت معنی‌داری چهار تغییر در آرایش ترادها شدند که این تغییر در سطح احتمال یک درصد ( $P \leq 0/01$ ) معنی دارد. اما در غلظت ۰/۰۰۱ گرم بر لیتر نانوذره اکسید آلومینیوم مراحل تکوینی مشابه شاهد بوده و تفاوت معنی‌داری نسبت به گروه شاهد رویت نشد. بیشترین تغییرات در بالاترین غلظت نانوذره اکسید آلومینیوم (۰/۱ گرم بد لیتر) مشاهده شد (شکل ۸).

بعد از میوز، تتراسپورها با از بین رفتن دیواره کالولزی از هم جدا شده، میکروسپورهای جوان آزاد می‌شوند و دیواره

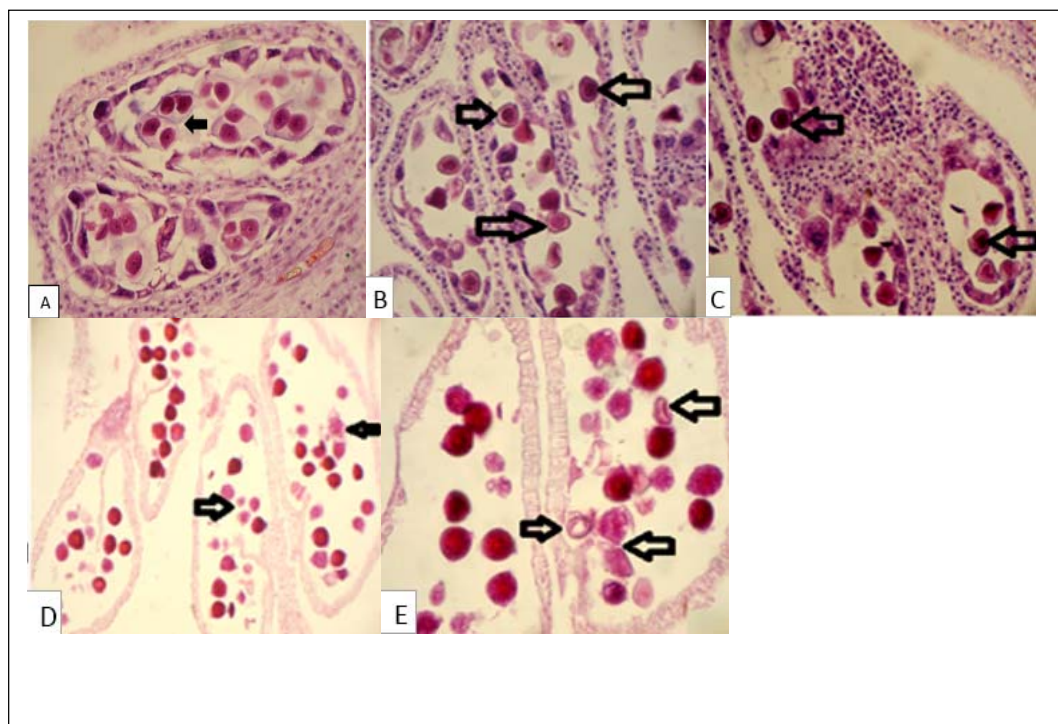
اسپورزایی و تکوین گامتوفت در گیاهان تحت تیمار: بررسی دقیق لامهای میکروسکوپی تهیه شده از گیاهان تحت تیمار، نشان داد در مراحل مختلف تکوین تخمک، ناهنجاری مشهودی وجود ندارد. در بررسی مراحل تکوین دانه گرده در برش‌های متعدد میکروسکوپی، ناهنجاری‌هایی در گیاهان تحت تیمار غلظت‌های مختلف نانوذره اکسید آلومینیوم مشاهده شد. در این نمونه‌ها، هیچ یک از مراحل تقسیم میوز چهار اختلال نشد، اما در مراحل بعدی بلوغ میکروسپور جوان ناهنجاری‌هایی مشاهده شد. بعد از تقسیم میوز، چهار سلول هاپلوبیود به نام تتراسپور به وجود می‌آیند. آرایش تترادها در این گیاه اغلب از نوع تترادرال است؛ اما در گیاهان تحت تیمار به ویژه در غلظت ۰/۱ گرم بر لیتر نانوذره اکسید آلومینیوم، به هم خوردن آرایش

در حالی که این درصد در گیاهان شاهد سه درصد بوده و از این نظر تفاوت معنی‌دار و حائز اهمیتی در سطح احتمال یک درصد ( $P \leq 0.01$ ) وجود داشت. سایر غلظت‌های به کار رفته نانوذره اکسید آلومینیوم حدود پنج درصد زیست ناپذیری در دانه‌های گرده را نشان داده که نسبت به گروه شاهد این تفاوت معنی‌دار بود اما مقایسه بین دو گروه تیماری با هم تفاوت معنی‌داری را نشان نداد. در واقع زیست ناپذیری دانه‌های گرده از ۹۷ درصد در شاهد به ۷۵ درصد در بالاترین غلظت کاربردی کاهش یافته است (شکل ۱۰).

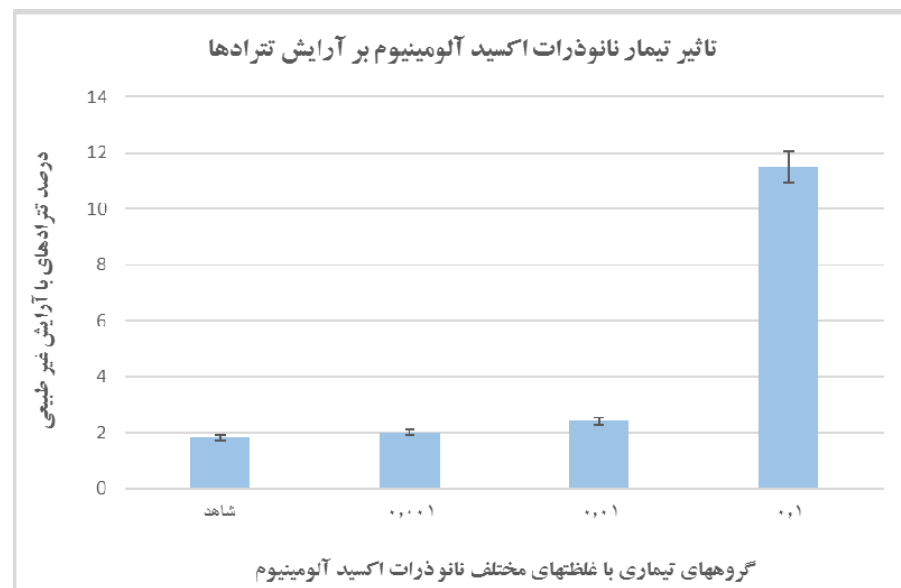
باتوجه به آنالیزهای صورت گرفته، هر سه ویژگی ذکر شده، تحت تاثیر تیمارهای نانوذره اکسید آلومینیوم به صورت معنی‌داری چهار تغییر شده است اما میزان این تغییرات متفاوت بوده و حتی در بعضی تیمارها تفاوت معنی‌داری نسبت به شاهد مشاهده نشد.

پکتوسلولری دیگری به نام انتین در مجاورت سیتوپلاسم تشکیل می‌شود. در هر سه گروه تیماری، ضخیم شدن لایه انتین نسبت به گروه شاهد، به صورت معنی‌داری در سطح احتمال ( $P \leq 0.01$ ) مشهود بود (شکل ۷B,C). بیشترین درصد تغییر ضخامت لایه انتین در تیمار ۱/۰ گرم بر لیتر نانوذره اکسید آلومینیوم با ۲۳ درصد رویت شد. در غلظت ۰/۰۱ و ۰/۰۰۱ گرم بر لیتر نانوذره اکسید آلومینیوم به ترتیب ۶ و ۷ درصد دانه‌های گرده با تفاوت کمتری نسبت به شاهد به صورت معنی‌دار، چهار ضخامت در لایه ایتین شدند (شکل ۹).

با انجام رنگ‌آمیزی استوکارمن بر روی دانه‌های گرده لوبيا، میزان تغییر در زیست ناپذیری آن‌ها تحت تاثیر نانوذره اکسید آلومینیوم بررسی شد. نتایج نشان داد، تیمار ۰/۱ گرم بر لیتر نانوذره اکسید آلومینیوم بیشترین درصد افزایش دانه‌های گرده زیست ناپذیر (۲۵ درصد) را نشان داد (شکل ۱۰D,E).



شکل ۷-۱۰(A) برهم خوردن آرایش تراودها . (B,C) ضخیم شدگی لایه ایتین (پیکانها) از جمله اثرات تیماری است که کم و بیش در اغلب تیمارها مشاهده شد.



شکل ۸- اثر غلظت‌های مختلف نانوذره اکسید آلمینیوم (۰/۰۰۱، ۰/۰۱ و ۰/۱ گرم بر لیتر) بر آرایش تترادها. هرستون معرف میانگین چهار تکرار  $\pm$  انحراف معیار است.

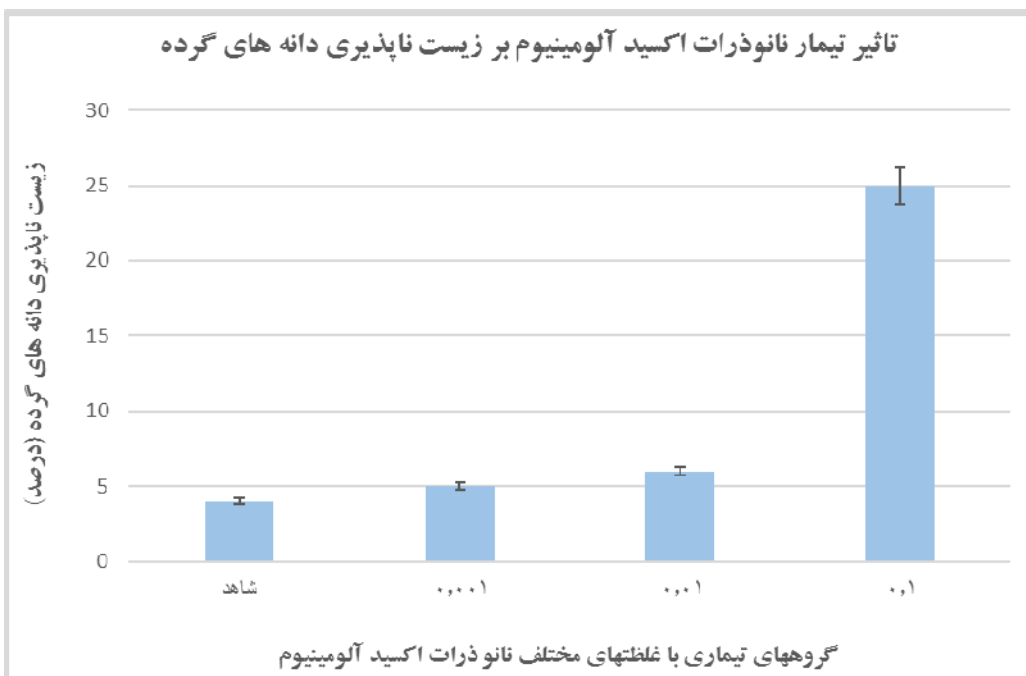


شکل ۹- اثر غلظت‌های مختلف نانوذره اکسید آلمینیوم (۰/۰۰۱، ۰/۰۱ و ۰/۱ گرم بر لیتر) بر ضخامت لایه اینتین. هرستون معرف میانگین چهار تکرار  $\pm$  انحراف معیار است.

ماده در گیاهان عالی دارای پوشش‌هایی هستند و ترشحات آن‌ها باعث پذیرش و جذب ذرات معلق در هوای می‌شود.

## بحث

با توسعه روزافزون کاربردهای صنعتی نانوذرات، نگرانی‌ها درمورد سرنوشت زیست محیطی و اثرات بیولوژیکی این ذرات تشدید شده است (۱۷، ۱۸). اندامهای تولید مثلی نر و



شکل ۱۰ - اثر غلظت‌های مختلف نانوذره اکسید آلمینیوم (۰/۰۰۱، ۰/۰۱ و ۰/۱ گرم بر لیتر) بر زیست‌پذیری دانه‌های گرده.

و به نظر می‌رسد در تمامی اعضای این تیره صفتی ثابت باشد. این خمیدگی، مانند سایر لگوم‌ها، ناشی از رشد نابرابر در ناحیه فونیکولی است (۲۳). پس از تشکیل پریموردیوم تخمکی، پوسته‌های تخمک شکل می‌گیرند که تشکیل آن‌ها حالت قرینه ندارد و پوسته‌ای که درجهت خمیدگی تخمک قرار دارد از رشد بیشتری برخوردار است. تخمک‌ها دوپوسته‌ای هستند و طبق گفته بومن (۱۹۷۴) پوسته بیرونی تخمک در Fabaceae منشا زیرپوستی دارد. ترتیب رشد و نمو دو پوسته در Fabaceae بسیار متغیر است. به طوری که در برخی گیاهان رشد پوسته درونی و در برخی رشد پوسته بیرونی مقدم‌تر است (۲۴). در گیاه مورد بررسی ما، پوسته بیرونی رشد سریع‌تری دارد. از جمله صفات حائز اهمیت تخمک تعداد لایه‌های تشکیل‌دهنده پوسته‌ها می‌باشد؛ در اغلب افراد خانواده Fabaceae پوسته درونی از دو لایه تشکیل شده است و پوسته بیرونی معمولاً از چندین لایه تشکیل شده است (۲۵). در گیاه مورد بررسی ما پوسته درونی شامل دو لایه و پوسته بیرونی از چهار تا پنج لایه تشکیل

اندازه این ذرات به قدری کوچک است که به درون کیسه‌های گرده و تخمک نفوذ می‌کنند. تخمک از طریق کلاله و مجرای ترشحی خامه که محل جذب دانه گرده است در معرض آلودگی با ذراتی با ابعاد چند میکرون هست. از طرفی، دانه‌های گرده با یک پوشش درونی و بیرونی دارای منافذی هستند که برای تسهیل رشد لوله گرده و انتقال سلول زایشی به تخمک تعبیه شده است و بدین طریق ذراتی با ابعاد چند نانومتر توانایی جذب به دانه گرده را پیدا می‌کنند (۱۹).

مطالعات میکروسکوپی این پژوهش نشان داد مراحل نمو تخمک در گیاه لویبا الگوی مشابهی با الگوی توصیف شده توسط بیوا (۱۹۸۹) در اغلب گیاهان دولپه دارد (۲۰، ۲۱). تکوین تخمک اهمیت بسیار مهمی در بقای گیاه دارد. به طوری که هر نوع اختلال در آن باعث کاهش تولید دانه‌ها و به خطر افتادن بقای گیاه می‌شود. بر اساس بررسی‌های ما تخمک در گیاه لویبا از نوع واژگون است که با گزارش جوهنسون و والز (۱۹۹۴) در مورد باقلاً مطابقت دارد (۲۲).

(۲۸). در نمونه ما این سلول موقعیت بنی یا اپی شالازی دارد که بعد از تحلیل سه سلول دیگر حاصل از میوز، به سمت سفت مهاجرت می‌کند.

در نمونه بررسی شده، کیسه رویانی متشكل از هفت سلول شامل: سلول تخم، دو سلول قرینه، سلول مرکزی و سه سلول متقاطر می‌باشد. درواقع کیسه رویانی از نوع علف هفت بند است. این نوع از کیسه رویانی در این خانواده عمومیت دارد (۲۹). در جریان نمو کیسه رویانی ابتدا کیسه رویانی دوهسته‌ای وسیپس به ترتیب چهار و هشت هسته‌ای تشکیل می‌شود و در نهایت جداربندی صورت می‌گیرد. هسته‌های کیسه رویانی به صورت دو سلول کناری قرینه و یک تخمز مرکزی در قطب سفتی، دو هسته در مرکز کیسه رویانی و سه متقاطر در قطب شالازی آرایش می‌باشد که متقاطرها خیلی زود تحلیل می‌روند که با یافته‌های جوهنسون و والر (۱۹۹۴) در مورد باقلاً مطابقت دارد (۲۲).

تکوین پرچم در نمونه‌های شاهد: بررسی مراحل تکوین پرچم در لوبيا نشان می‌دهد که تکوین پرچم‌ها بسیار سریع است. پرچم‌های حلقه اول زودتر و پرچم‌های حلقه دوم کمی با تاخیر تشکیل می‌شوند؛ اما در نهایت پرچم‌ها به هم پیوسته و تشکیل ۹ پرچم بهم پیوسته و یک پرچم آزاد را می‌دهند (۳۰). داویس (۱۹۶۶) در خصوص تشکیل لایه‌های دیواره بساک مطالعات فراوانی انجام داد و بر اساس ترتیب مراحل تقسیم سلولی دو تیپ اصلی را معرفی کرد (۳۱). تشکیل لایه‌های مختلف پرچم و سلول‌های هاگزا در لوبيا از تیپ پایه‌ای داویس پیروی می‌کند. بدین صورت که سلول‌های لایه جداری ثانویه درونی بدون تقسیم جدید لایه تاپی یا پرستار را بوجود آورده، در حالیکه لایه جداری خارجی ابتدا به صورت مماسی تقسیم شده و دو لایه جدید تشکیل می‌دهد که لایه خارجی مکانیکی و لایه درونی سلول‌های میانی را بوجود می‌آورند.

شده است. مطالعات بر روی کترل ژنتیکی و مولکولی نمو تخمک نشان می‌دهد که دو پوسته تخمک خاستگاهی مستقل از یکدیگر دارند و این مسئله می‌تواند گوناگونی فراوان موجود برای ساختار این لایه‌ها را توجیه کند (۲۶).

در برخی دو لپهای‌ها اپیدرم داخلی پوسته، تبدیل به بافت ترشحی به نام اندوتیلیوم یا لایه مغذی پوسته می‌شود. اندوتیلیوم در بسیاری از تخمک‌هایی که بافت خورش در مراحل ابتدایی رشد آن‌ها از بین می‌رود، تشکیل یک لایه محدود کننده را می‌دهد. این سلول‌ها با داشتن هسته‌های درشت، اندازه سلولی بزرگ و فراوانی اندامک‌هایشان احتمالاً دارای نقش موثری در انتقال مواد غذایی به درون کیسه رویانی هستند. لایه کوتیکولی که بین آندوتیلیوم و کیسه رویانی وجود دارد؛ در مرحله پیش رویانی چهار شکستگی می‌شود. این لایه احتمالاً از جریان مواد غذایی به درون کیسه رویانی و رویان، در مراحل ابتدایی رشد ممانعت می‌کند (۲۷). در تمام نمونه‌های مورد بررسی ما این لایه تشکیل می‌شود و یک لایه پایدار به نظر می‌رسد اما در *Vicia faba* اندوتیلیوم وجود ندارد و پوسته داخلی و سایر بافت‌های مادری، در مراحل ابتدایی رشد نمود رویان از بین می‌روند (۲۸).

در گیاه مورد بررسی ما نیز مانند سایر اعضاء Fabaceae تخمک از نوع پر خورش است (۲۹). در گیاه لوبيا موقعیت سلول مگاگامتوسیت در لایه چهارم می‌باشد. مطالعه بر روی مگاپورانژ Fabaceae نشان می‌دهد که شکل تترادها در این خانواده بسیار متنوع است. به گونه‌ای که در اغلب مطالعات انجام شده بر روی اعضا این خانواده تترادها به صورت خطی گزارش شده‌اند که از آن جمله می‌توان به *Glycine max* اشاره کرد (۳۰). در نمونه مورد بررسی ما نیز تتراد اغلب از نوع خطی بود.

موقعیت مگاپور فعل می‌باشد و ممکن است در موقعیت سفتی، بنی یا زیربنی باشد. در گونه *Vicia faba* موقعیت مگاپور فعل اپی شالازی است

مشابه گیاهان شاهد است اما تفاوت‌هایی در مراحل بلوغ دانه‌های گرده مشاهده شد. در بررسی‌های انجام شده بر روی مراحل مختلف تکوین تخمک در گیاه لوبیا هیچ ناهنجاری رويت نشد. درحالی که سایر آلاینده‌های زیستی سبب بروز انواع مختلف ناهنجاری‌ها در سایر گیاهان شده است. از جمله این تغییرات می‌توان به تغییر در مراحل تکوین تخمک و کیسه‌رویانی، تغییر شکل تخمک و کاهش تعداد آن‌ها، واکوئله شدن سلول‌های بافت خورش و مرگ سلولی، تحلیل هسته‌ها در کیسه رویانی و تخریب سریع دستگاه تخمزا اشاره کرد (۳۰، ۳۳).

مشخص شده است که در بین سلول‌های مختلف گیاهان، گرده‌ها به میزان بیشتر به آلاینده‌های مختلف حساس هستند و جوانه‌زنی گرده‌ها و رویش لوله گرده در آن‌ها بر اثر عناصر سنگین مختلف ممانعت می‌شود، به نحوی که کشت آزمایشگاهی لوله‌های گرده به عنوان یک سیستم استاندارد حساس برای بررسی میزان سمیت عناصر سمی مختلف در سطح سلولی استفاده می‌شود (۳۴، ۳۳).

در بررسی‌های حاضر انجام شده بر روی دانه‌های گرده گیاهان تحت تیمار، برهم خوردن آرایش تترادها رویت شد که با مطالعات چهرگانی و همکاران (۲۰۰۶) تحت تیمار شبیه باران اسیدی در گیاه لوبیا هم‌سو می‌باشد (۲۹). برخی پژوهشگران مشاهده کردند که نانوذره سدیم اکسید و آهن اکسید نسبت به بار الکتریکی خود در سلول‌های پستانداران مکان یابی متفاوتی دارند (۳۴). بنابراین به نظر می‌رسد نانوذره اکسید آلومینیوم با تاثیرگذاری بر روی تشکیل دیواره سلولی و استقرار بارهای الکتریکی بر روی سطح دانه‌های گرده منجر به برهم خوردن آرایش تترادها می‌شود.

همچنین در بررسی‌های انجام شده در این مطالعه، افزایش ضخامت در لایه ایتین مشاهده شد که با مشاهدات چهرگانی و همکاران (۲۰۰۶) در مورد تاثیر تیمار شبیه باران اسیدی بر نمو دانه‌های گرده لوبیا مطابقت دارد (۲۹).

سلول‌های تاپی که داخلی‌ترین لایه بساک را تشکیل می‌دهند، به دو نوع ترشحی و پلاسمودیال تقسیم می‌شوند که هر دو نوع آن در بساک لوبیا وجود دارد (۳۰). در نمونه مورد بررسی ما تاپی از نوع تک هسته‌ای است. در مراحل اولیه نمو بساک، پرموردیوم بساک به صورت یک مریستم احاطه شده در اپیدرم است. سپس چهار برجستگی در چهار گوشه بساک مشخص می‌شود. در هر کدام، یک یا چند سلول زیراپیدرمی به سلول‌های آرکتوسپور تمایز می‌یابند. تقسیمات مماسی متواالی سلول آرکتوسپور و سلول‌های حاصل از آن موجب تشکیل دیواره میکروسپورانژها و بافت هاگرا می‌شود (۳۲). این روند مطابق وضعیت موجود در اکثر گیاهان گلدار می‌باشد (۲۰).

تقسیم میوز انجام گرفته و چهار میکروسپور تشکیل شده حفظ می‌شوند. سیتوکینز در سلول مادر گرده از نوع همزمان می‌باشد که الگوی موجود در اکثر نهاندانگان دولپه‌ای است (۱۵). اطراف هر میکروسپور را دیواره اگزین فرا می‌گیرد؛ این دیواره ابتدا پلی‌ساقاریدی و سپس اسپوروپولینی می‌شود. همزمان با آزادشدن میکروسپورها، دیواره دوم یعنی ایتین در داخل اگزین تشکیل می‌گردد. تشکیل اگزین و ایتین وابسته به سلول‌های تاپی است و با استفاده از مواد و محتویات آن‌ها صورت می‌گیرد. آرایش میکروسپورها در داخل دیواره کالولزی از نوع تترادرال است. دانه‌های گرده جوان رشد می‌کنند، واکوئل در آن‌ها بزرگ می‌شود، هسته تقسیم شده و گرده‌های بالغ دارای دو هسته را به وجود می‌آورند. سلول بزرگتر یا سلول رویشی، هسته پخش و غیرمتراکم و سلول کوچکتر یا سلول زایشی هسته دوکی شکل و متراکم دارند. دانه‌های گرده بالغ دارای سه منفذ رویشی و محتویات ذخیره‌ای از نوع نشاسته و لیپید هستند (۳۰).

### بررسی نتایج حاصل از مطالعات تکوینی گیاهان تحت تیمار

مراحل کلی تکوین تخمک و پرچم در گیاهان تحت تیمار

مورفولوژیکی دانه‌های گرده، آسیب‌های غشای سلولی، مبادله یونی با کلسیم دیواره و در نهایت آسیب به رشد لوله گرده می‌شوند. دانه‌های گرده و سلول‌های گیاهی سرب را جذب کرده و طی واکنش‌های مبادله یونی، سرب در دیواره جایگزین کلسیم می‌شود و این جایگزینی مانع رشد لوله گرده می‌شود. در ممانعت رشد لوله گرده، تاثیر نانوذره سرب بیشتر از فرم محلول است زیرا میزان جذب ذرات در فرم نانوذره بیش از فرم محلول است (۳۶).

مطالعات خان و همکاران (۲۰۱۵) نشان داد که هر دو نانوذره تیتانیوم اکسید و روی اکسید مشابه فرم محلول خود، باعث یک همولیز وابسته به غلظت در سلول‌های خونی انسان می‌شوند. به نظر می‌رسد که مکانیسم اصلی سمیت نانوذرات از طریق تنشهای اکسیداتیو بروز می‌کند (۳۷). همچنین مطالعات بر روی سمیت زنگیکی نانوذره تیتانیوم اکسید بر روی مریستم راسی ریشه در پیاز و تباکو الگویی از نسبت افزایش آسیب‌های DNA نسبت به افزایش غلظت نانوذرات را نشان می‌دهند. این نتایج نشان می‌دهند که آسیب‌های DNA وابسته به غلظت نانوذرات هستند (۳۷).

امروزه مکانیسم دقیق سمیت نانوذرات کشف نشده است اما به نظر می‌رسد، ارتباط نزدیکی با ترکیب شیمیایی، ساختار، اندازه و افزایش سطح نانوذرات دارد. در کل، سمیت شیمیایی به دو صورت ممکن است بروز کند: ۱- سمیت شیمیایی که بر اساس ترکیبات شیمیایی بروز می‌کند. مثل تاثیر یون‌های آزاد شده و ۲- تنشهایی که وابسته به سطح، اندازه و یا شکل سلول است (۳۸).

### نتیجه‌گیری

مطالعه حاضر به منظور بررسی مقایسه‌ای مراحل تکوین تخمک و دانه‌های گرده در گیاهان شاهد و تحت تیمار با نانوذره اکسید آلومینیوم صورت گرفت. نتایج مطالعه تاثیر نانوذره اکسید آلومینیوم بر مراحل نمو دانه‌های گرده به ویژه مراحل بلوغ آنها را ثابت کرد. نانوذرات

بار نانوذرات مانع تشکیل سیتوپلاسم دانه‌های گرده می‌شود. همچنین نسبت به بارشان، نانوذرات ممکن است روی تشکیل دیواره هم تاثیرگذارند. درواقع، نسبت به بارذرات ظرفیت مکان یابی آنها متفاوت است (۳۶). بنابراین، پیشنهاد ما این است که بار نانوذره اکسید آلومینیوم منجر به افزایش ضخامت دیواره اینتیم می‌شود.

در نمونه‌های مورد بررسی در این مقاله کاهش زیست‌پذیری دانه‌های گرده در گیاهان تحت تیمار نانوذره اکسید آلومینیوم رویت شد. همچنین کاهش در زیست‌پذیری دانه‌های گرده و افزایش در دانه‌های گرده نارس تحت تاثیر تیمار نانوذره آهن در گیاه آرابیدوپسیس نیز گزارش شده است (۱۴). در بررسی‌های صورت‌گرفته بررسی دانه‌های گرده گیاه آرابیدوپسیس تحت تیمار نانوذره آهن کاهش ۵۰ درصدی در رشد لوله گرده رویت شد. با توجه به کاهش در زیست‌پذیری و رشد لوله گرده، پیشنهاد شده است که بار نانوذرات اثرمنفی روی ظرفیت تولیدمثلی گیاهان می‌گذارد (۱۴).

پوبوریلو و همکاران (۲۰۱۳) در بررسی‌های خود مشاهده کردند که نانوذره آلومینیوم توانایی تجمع و ایجاد پیوند با سایر ترکیبات مثل اسیدهای آلی و پیتیدها را دارد و حتی می‌تواند در مبادلات یونی شرکت کند. همچنین نشان داده شده است که اسکلت سلولی تحت تاثیر یون‌های آلومینیوم قرار گرفته و از این طریق روی بسیاری از فرایندهای سلولی مثل تقسیم سلولی اثر دارند و می‌توانند از طریق القای تکثیر سلولی غیر قابل کنترل، اثر سمی خود را اعمال کنند (۳۵).

در مطالعات انجام شده بر روی دوفرم محلول سرب کلرید و نانوذره سرب، سمیت متفاوتی مشاهده شد. این مشاهدات این‌گونه توصیف شدند که دانه‌های گرده و سلول‌ها سرب را به صورت نانوذره بیش از فرم محلول سرب کلرید انباسته می‌کنند. تعدادی از اثرات بیولوژیکی سرب در این‌جا توصیف شده‌اند که شامل: تغییرات

تحت تیمار می‌شوند. اما تیمارهای انجام شده بر مراحل تکوین تخمک موثر واقع نشد.

مولکولی. ۱۳۹۲. ۶۵-۷۲.

۱۴. چهرگانی ع، رضانژاد ف. رویان‌شناسی گیاهان گل‌دار: واژگان و مفاهیم. انتشارات دانشگاه باهنر کرمان. ۱۳۸۷.

۱۵. توکلی م، چهرگانی ع، لاری یزدی ح. مطالعه اثر مختلف استات سرب بر مراحل تکوین تخمک در گیاه بادمجان. مجله زیست‌شناسی ایران. ۱۳۹۳. جلد ۲۷. شماره ۳. ۳۸۶-۳۹۴.

3. Zhu H, Han J, Xiao J Q, Jin Y. Uptake, translocation, and accumulation of manufactured iron oxide nanoparticles by pumpkin plants. *J. Environ. Monit.* 2008; 10(6):713-717.

4. Zhu X, Zhu L, Duan, Z, Qi R, Li Y, Lang Y. Comparative toxicity of several metal oxide nanoparticle aqueous suspensions to Zebrafish (*Danio rerio*) early developmental stage. *J. Environ. Sci. Heal., Part A.* 2008; 43(3): 278-284.

5. Dietz K J, Herth, S. Plant Nanotoxicology. *Trends Plant Sci.* 2011; 16(11): 582-589 .

6. Yu S, Rui Q, Cai T, Wu Q, Li Y, Wang D. Close association of intestinal autofluorescence with the formation of severe oxidative damage in intestine of nematodes chronically exposed to Al<sub>2</sub>O<sub>3</sub>-nanoparticle. *Environ. Toxicol. Pharm.* 2011; 32(2): 233-241 .

7. Sadiq I M, Pakrashi S, Chandrasekaran N, Mukherjee A. Studies on toxicity of aluminum oxide (Al<sub>2</sub>O<sub>3</sub>) nanoparticles to microalgae species: *Scenedesmus* sp. and *Chlorella* sp. *J. Nanoparticle Res.* 2011; 13(8): 3287-3299 .

8. Dabrunz A, Duester L, Prasse C, Seitz F, Rosenfeldt R, Schilde C, Schulz R. Biological surface coating and molting inhibition as mechanisms of TiO<sub>2</sub> nanoparticle toxicity in *Daphnia magna*. *PLOS One.* 2011; 6(5): online published.

9. Armelao L, Barreca D, Bottaro G, Gasparotto A, Maccato C, Maragno C, Mahne, D. Photocatalytic and antibacterial activity of TiO<sub>2</sub> and Au/TiO<sub>2</sub> nanosystems. *Nanotechnology.* 2007; 18(37).

10. Aruoja V, Dubourguier HC, Kasemets K, Kahru

اکسید آلمینیوم منجر به افزایش ضخامت انتین، بی نظمی در آرایش تراکدها و کاهش زیست‌پذیری در دانه‌های گرده

## منابع

۱. علومی ح، سلطانی نژاد ر، باقی‌زاده ا. بررسی تاثیر ریزذرات اکسید-روی و اکسیدمیس بر جوانشدنی و صفات ریخت‌شناسی گیاهچه شیرین‌بیان. *Glyerrhiza glabra* L. اولین همایش بین‌المللی تنش‌های گیاهی (غیرزیستی). ۱۳۹۱. دانشگاه اصفهان.
۲. کمالی م، رستمی ع، محسنی کوچصفهانی ه. سمیت سلولی تانوذرات در محیط *in vitro*. تازه‌های بیوتکنولوژی سلولی
- A. Toxicity of nanoparticles of CuO, ZnO and TiO<sub>2</sub> to microalgae *Pseudokirchneriella subcapitata*. *Sci. Total Enviro.* 2009; 407(4): 1461-1468 .
11. Franklin NM, Rogers NJ, Apte, SC, Batley GE, Gadd, GE, Casey PS. Comparative toxicity of nanoparticulate ZnO , Bulk ZnO, and ZnCl<sub>2</sub> to a freshwater microalga (*Pseudokirchneriella subcapitata*): the importance of particle solubility. *Environ. Sci. Technol.* 2007; 41(24): 484-8490 .
12. Lin D, Xing B. Phytotoxicity of nanoparticles: inhibition of seed germination and root growth. *Environ. Pollution.* 2007; 150(2): 243-250.
13. Yang L, Watts DJ. Particle surface characteristics may play an important role in phytotoxicity of alumina nanoparticles. *Toxicol. letters.* 2005; 158(2): 122-132 .
14. Bombin S, Lefebvre M, Shenwood J, Xu Y, Bao Y, Ramonell KM. Developmental and Reproductive Effects of Iron Oxide Nanoparticles in *Arabidopsis thaliana*. *Inter. J. Molecular Sci.* 2015; 16: 24174-24193.
15. Tanaomi N, Jonoubi P, Chehregani Rad A, Majd A, Ranjbar M. Embryology of *Onobrychis persica* Sirj. and its systematic implications. *Cayología.* 2016; 69: 256-266.
16. Shirkhani Z, Chehregani Rad A, Gholami M. Effects of Cadmium on floral organ and gametophyte development in *Datura stramonium* L. *Braz. J. Bot.* 2020. (Online Published)
15. Shamrov I. Ovule classification in flowering plants- new approach and concepts. *Botanische Jahrbücher für Systematik.* 1998; 120: 37- 44..

16. Ghahraman A. Iranian's Chromophyts (Plant systematic) Tehran: University Publishing Center;1993; 504-505.
- 18 . Shakirova FM, Sakhabutdinova AR, Bezrukova MV, Fatkhutdinova RA, et al. Changes in the hormonal status of wheat seedlings induced by salicylic acid and salinity. *Plant Science*. 2003; 164(3): 317-22.
19. Holleman A, Wiberg E. Lehrbuch der Anorganischen Chemie. Berlin: Springer. 1985.
20. Ruzin SE. Plant microtechnique and microscopy. Oxford New York: Oxford University Press. 1999.
21. Handy RD, Owen R, Valsami-Jones E. The Nerotoxicology of nanoparticles and nanomaterials: current status, knowledge gaps, challenges, and future needs. *Ecotoxicol*. 2008; 17: 315-25.
22. Monica RC, Cremonini R. Nanoparticles and higher plants. *Caryologia* 2009;62(2): 161-165
23. Chichiriccò G, Poma A. Penetration and Toxicity of Nanomaterials in Higher Plants. *Nanomaterials*. 2015. 5. 851-873.
24. Buvat R. Ontogeny, cell differentiation and structure of vascular plant. Springer-verlag.1989.
25. Johansson M, Walles B. Functinal anatomy of the ovule in broad bean (*Vicia faba*): ultra structural seed development and nutrient pathways. *Ann. Bot*.1994. 74: 233-244.
26. Arrudo SCC, Silva ALD, Galazzi RM, Azevedo RA, Aruda MAZ. Nanoparticle applied to plant science. *Talanta*. 2015. 131: 693-705. 3. Zhu H, Han J, Xiao J Q, Jin Y. Uptake, translocation, and accumulation of manufactured iron oxide nanoparticles by pumpkin plants. *J. Environ. Monit*. 2008. 10(6).713-717.
27. Bouman F, Boesewinkel F. the campylotropous ovules and seed: their structure and functions. *Botanische Jahrbüche für Systematik*. 1991. 113: 255-270.
28. Copper DC. Macrosporogenesis and embryology of *Mellilotus*. *Botanical Gazette*. 1993. 95: 143-155.
29. Schneitz K, Balasubramanian s, Schiefthaler U. Organogenesis in plant: the molecular and genetic control of ovule development. *Trends Plant Sci*.1998. 3: 468-472.
30. Chehregani A, Tanaomi N. Ovule ontogenesis and megagametophyte development in *Onobrychis schahuensis* Bornm. (Fabaceae). *Turk J Bot*.2010. 34. 241-248.
31. Majed A, Chehregani A. Studies on developmental process in ovules of Soja *Glycine max* plants and effects of certain toxin and environmental pollutants. *Acta Horticulture*.1992. 319: 431-436.
32. Mitchell JP. Megasporogenesis anad microsporogenesis in *Vicia faba*. *Can. J. Bot*. 1975. 53: 2804-2812.
33. Chehregani A, Malayeri EB, Kavianpour F. Effect of acid rain on the development structure and viability of pollen grain. *Pak. J. Biol. Sci*. 2006. 6:1033-1036.
34. Davis G. Systematic Embryology of the Angiosperms. John Wiley & Sons. Ltd. 1996. New York. London. Sydney.
35. Speranza A, Leopold K, Aaire M, Taddei AR, Scoccia V. Pb nanoparticles cause increased toxicity of Kivifruit pollen compared to soluble Pb (II). *Environ Pol*. 2010. 158: 873-882.
36. Khan M, Naqvi AH, Ahmad M. Comparative study of the cytotoxic and genotoxic potential of ZnO and TiO<sub>2</sub> nanoparticles. *Toxicol. Reports*. 2015. 2: 762-774.
37. Kristen U, Hoppe U, Pape W. The pollen tube growth test: a new alternative to the Draize eye irritation assay. *J Soc Cosmet Chem*. 1993; 44: 153–162
38. Poborilova Z, Opatrilona R, Babula P. Toxicity of aluminum oxide nanoparticle demonstrated using By-2 plant cell suspension culture model. *Environ. Exp. Bot*. 2013. 91: 1-11.

## Effect of aluminum oxide nanoparticle on sporogenesis and gametophyte development in bean (*Phaseolus vulgaris L.*)

Chehregani Rad A.K.<sup>\*</sup>, Moatabarniya S. and Jafari Anvari M.

Dept. of Biology, Faculty of Science, Bu-Ali Sina University, Hamedan, I.R. of Iran

### Abstract

The purpose of the study was to determine the exact developmental stages of reproductive organs and to survey the effects of Aluminum oxide nanoparticles on different developmental stages of ovule, embryo sac, stamen and pollen grains in bean plants as one of the main sources of food in the world. Bean seeds were cultured in greenhouse conditions and treated with Aluminum oxide nanoparticles in different concentrations (0.1, 0.01, 0.001 g/l). Flowers and buds were collected, in different sizes, and fixed in a FAA, dehydrated, embedded in paraffin and sliced with a rotary microtome. The staining was carried out using Hematoxylin-Eosin. The samples were studied by light microscope and photographed. The results showed that in control plants, different developmental stages were similar to the prior reports. Ovule was anatropous, embryo sac was of polygonum type, and tetrad arrangement was often linear, and sometimes T-shaped. Anther was tetrasporangiate, tetrad arrangement was tetrahedral, and tapetum was of secretory type at beginning and plasmoidal at the late developmental stages. Pollen grains were spherical to oval shaped. Results showed that the treatments did not affect the development of ovule, but caused a decrease in pollen viability and increased the thickness of the intine layer. Irregularities in tetrad arrangement and structure of pollen grains were some effects of treatment by Aluminum oxide nanoparticles.

**Key words:** nanoparticles, aluminum oxide, ovule, pollen grains, development